

بررسی تجربی تاثیر زاویه نازل بر رفتار یک خانواده از انژکتورهای پیچشی

مهدی اشجاعی

استادیار گروه مهندسی مکانیک - دانشکده فنی - دانشگاه تهران

ایرج طنابیان

فارغ التحصیل کارشناسی ارشد گروه مهندسی مکانیک دانشکده فنی - دانشگاه تهران

(تاریخ دریافت ۷۶/۱۱/۲۸، تاریخ تصویب ۷۷/۶/۲۸)

چکیده

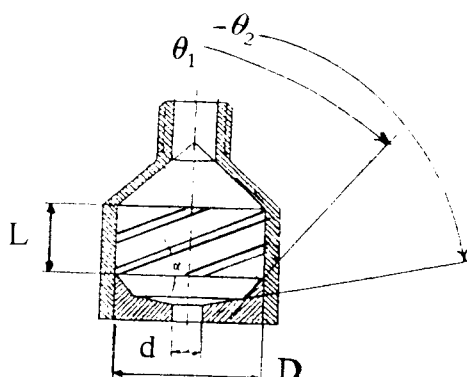
پودرکردن سوختهای مایع به منظور بالابردن بازدهی احتراق در موتورها همواره مورد توجه صنعتگران بوده است. آنچه در این پژوهش به عنوان هدف دنبال می‌گردد عبارت است از درنظر گرفتن یکی از پارامترهای هندسی انژکتور، زاویه نازل و سپس تاثیر تغییر این پارامتر بر مشخصه‌های میدان پاشش (از قبیل سرعت مطلق، قطر قطرات [۱]، سرعت محوری، سرعت مماسی سرعت ساعی) مورد بررسی قرار گرفته است.

برای اندازه‌گیری سرعت و قطر قطرات در مخروط پاشش روشهای متفاوتی، تئوری [۲] و تجربی وجود دارد. در آزمایشگاه از طریق اشعه لیزر این کار انجام می‌شود. در این آزمایش از دستگاه‌های PDA^(۱) استفاده گردیده است. با برخورد نور لیزر، به قطرات آب خارج شده از انژکتور نور متفرق شده و منحرف می‌گردد. این انحراف مناسب با قطر قطره خواهد بود. لذا انژکتورهایی با زاویه نازل متفاوت ساخته شده و در دستگاه PDA قرار داده و مولفه‌های سرعت و قطر قطرات اندازه‌گیری می‌شود.

همچنانکه مشاهده خواهد شد بالغایش زاویه کوچک نازل مقدار ماگزیم سرعت و قطر قطرات آب کاهش می‌یابد ولی با افزایش زاویه بزرگ نازل، انژکتور با زاویه ۱۴۴ درجه دارای یک ماگزیم سرعت و قطر نسبت به دیگر انژکتورها خواهد بود.

کلید واژه‌ها: انژکتور پیچشی، نازل، قطر قطره، سرعت، مخروط پاشش، لیزر

مقدمه



شکل ۱: انژکتور پیچشی با ورودی محوری.

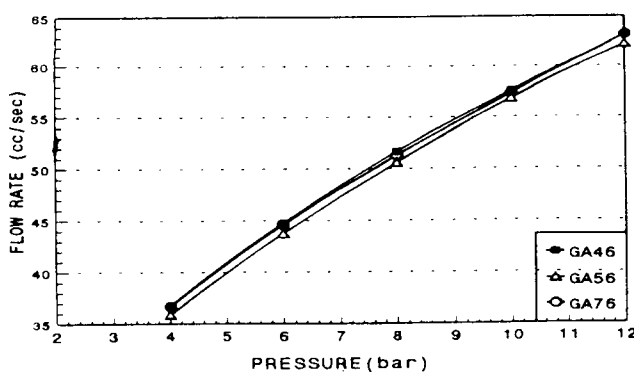
پارامترهای مهمی که بر رفتار انژکتورهای پیچشی موثرند شامل مشخصات هندسی انژکتور (قطر مارپیچ D)

انژکتورهای پیچشی کاربرد وسیعی در محفظه احتراق راکت‌های سوخت مایع دارند. در این نوع انژکتورها سیال از یک مسیر مارپیچ عبور کرده و یا اینکه بطور ساعی وارد یک محفظه شده و در داخل محفظه حالت چرخش پیدا می‌کند. پس از آنکه سیال چرخش لازم را انجام داد از نازل به اطاق احتراق یا هوای آزاد پاشیده می‌شود. این انژکتورها خود به دو نوع اصلی تقسیم می‌شوند؛ دسته اول انژکتورهای مارپیچ دار می‌باشند (شکل ۱). در این انژکتور، ورودی سیال (سوخت یا اکسیدکننده) به صورت محوری است. نوع دوم انژکتورها بدون مارپیچ بوده و ورودی سیال در آن به صورت مماسی است (شکل ۲).

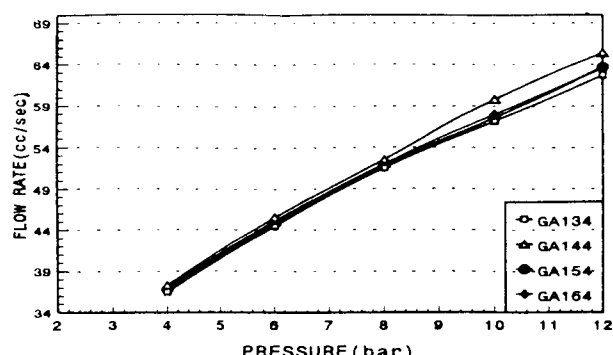
گروه اول $d=3\text{ mm}$ و $L=6\text{ mm}$ و $N=3$ انژکتورها شامل سه انژکتور می‌باشد که زاویه کوچک همگرایی نازل در آنها به ترتیب 46° , 56° و 76° انتخاب شده است. در گروه دوم انژکتورها، چهار انژکتور با زاویه بزرگ همگرایی نازل به ترتیب 134° , 144° , 144° و 164° قرار داده شده‌اند. انژکتورهای فوق الذکر را برای شناسایی با کد GA به اضافه زاویه موردنظر نامیده می‌شوند. مثلاً انژکتور با زاویه 46° با کد GA46 مشخص شده‌اند.

منحنی‌های دبی انژکتور بر حسب افت فشار

انژکتورهای انتخابی ابتدا تست دبی شده و نتایج آن را به صورت نمودارهای تغییر دبی بر حسب فشار در شکلهای ۴ و ۵ ملاحظه می‌کنید. توجه داشته باشید که تقریباً تمام منحنی‌ها بر هم منطبق‌اند.



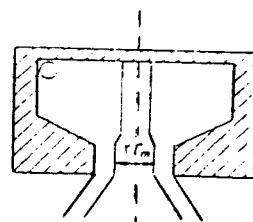
شکل ۴: منحنی تغییرات دبی انژکتور با فشار در گروه اول انژکتورها.



شکل ۵: منحنی تغییرات دبی انژکتور با فشار در گروه دوم انژکتور.

همانطور که مشاهده می‌شود طبق تئوریهای موجود در همه انژکتورها با افزایش فشار ورودی دبی سیال نیز افزایش می‌یابد.

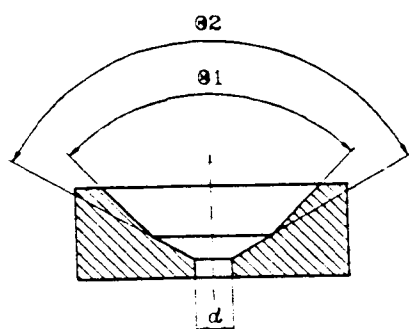
طول مارپیچ L، زاویه مارپیچ α قطر سوراخ نازل d [۳]، زوایای کوچک و بزرگ همگرایی نازل $\theta_{1,2}$ تعداد راهگاه مارپیچ N [۴]) و نوع سیال (۵) می‌باشد. در بررسی حاضر، تاثیر زاویه‌های کوچک و بزرگ همگرایی نازل بر رفتار انژکتور پیچشی مورد مطالعه قرار گرفته است.



شکل ۲: انژکتور پیچشی با ورودی مماسی.

تاثیر زوایای نازل بر سرعت خروجی از نازل

در زیر شکل شماتیکی از درپوش انژکتور مشاهده می‌فرمایید.



شکل ۳: درپوش انژکتور پیچشی با ورودی محوری.

همانطور که در شکل مشخص است با تغییر زوایای نازل، سطح مقطع عبوری تغییر می‌کند، لذا سرعت سیال در داخل نازل متفاوت می‌باشد. از این رو تست انژکتورهایی با دبی ثابت و زوایای مختلف بسیار سودمند خواهد بود و می‌توان تاثیر این پارامترها را بر روی رفتار انژکتورهای پیچشی سنجید.

مشخصات هندسی انژکتورهای تست شده

برای انجام این آزمایش دو گروه انژکتور ساخته شده است. مشخصات زیر برای همه انژکتورها یکسان هستند:

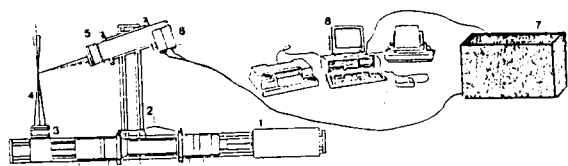
هرگاه در مسیر پرتوهایی که گیرنده دریافت می‌کند دو آشکارساز نوری در موقعیت زاویه‌ای متفاوت قرار دهیم، هردو آشکار ساز پرتوهایی را از یک ذره دریافت خواهند کرد که دارای فرکانس یکسان بوده لیکن هم فاز نیستند. این اختلاف فاز متناسب با قطر قطره است و به این ترتیب دستگاه قادر به تعیین قطر خواهد بود.

تعیین مشخصه پاشش

برای تعیین مشخصه پاشش انژکتورهای ساخته شده، از دستگاه (Phase Doppler Anemometry) PDA استفاده شده است (شکل ۶). این دستگاه قادر است دو مولفه سرعت (بطور همزمان) و قطر قطرات را در نقطه‌ای که پرتوهای لیزر به هم برخورد می‌کنند، تعیین نماید [۵].

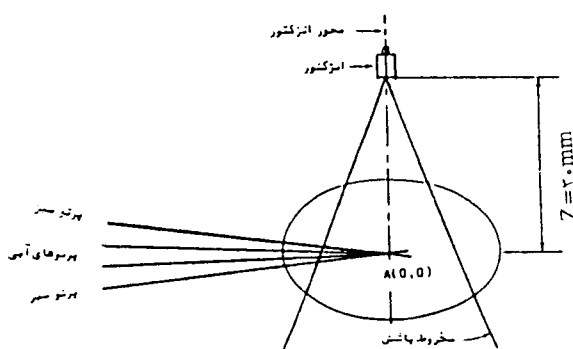
روش انجام آزمایش

در هنگام انجام آزمایش تجهیزات ثابت هستند، لیکن انژکتور توسط وسیله‌ای به نام Traversing System در مختصات کارتئین که بواسیله کاربر در ابتدای کار وارد کامپیوتر شده است حرکت می‌کند. در این آزمایش تمام اندازه‌گیریها در فاصله $Z=30\text{ mm}$ از محل خروج سیال از انژکتور انجام شده است. در این فاصله قطر دایره‌اندازه‌گیری در حدود 90 mm در نظر گرفته شده تا تمامی محروم طبقه پاشش را دربرگیرد.



شکل ۶: شماتیک دستگاه PDA

- (۱)-مولد لیزر (۲)-انتقال دهنده
- (۳)-همگرا کننده پرتوها
- (۴)-پرتوهای لیزر (۵)-گیرنده
- (۶)-آشکار ساز نوری
- (۷)-پردازنده سیگنال (۸)-کامپیوتر و تجهیزات جانبی)

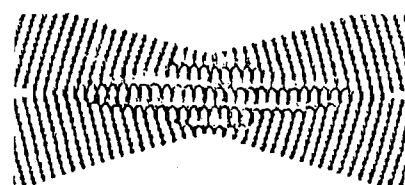


شکل ۸: محل تلاقی پرتوهای لیزر، ثابت بوده و انژکتور در صفحه افق جابجا می‌شود.

مشخصه‌های پاشش نسبت به مرکز تقارن A قرینه است، لیکن برای افزایش دقیق اندازه‌گیری، برای نقطه‌ای معین روی یک شعاع، میانگین مقادیر مربوط به نقاطی که فاصله شان تا نقطه A به یک اندازه است را به عنوان مشخصه مربوط به آن نقطه در نظر می‌گیریم.

دستگاه مورد نظر دو مولفه سرعت را تعیین می‌نماید. چون این دستگاه در هر لحظه دو مولفه عمود برهم را اندازه‌گیری می‌کند، لذا برای آنکه بتوان مولفه سوم

از برخورد دو پرتو لیزر یک بیضی گون (شکل ۷) تشکیل می‌شود که از صفحات تاریک و روشن تشکیل یافته است [۶]. هرگاه قطره‌ای این صفحات تاریک و روشن را قطع نماید فرکانس نور منعکس شده که بواسیله گیرنده دستگاه دریافت می‌شود بیانگر سرعت ذره خواهد بود. هرگاه فرکانس دو پرتو لیزر یکسان باشد صفحات تاریک و روشن ساکن خواهند بود و لذا جهت حرکت دو ذره با سرعت یکسان لیکن در جهت متقابل، قابل تشخیص نخواهد بود. حال اگر فرکانس یکی از پرتوها را تغییر دهیم صفحات تاریک و روشن، متحرک خواهند شد و جهت حرکت ذره برای دستگاه قابل تشخیص خواهد بود.



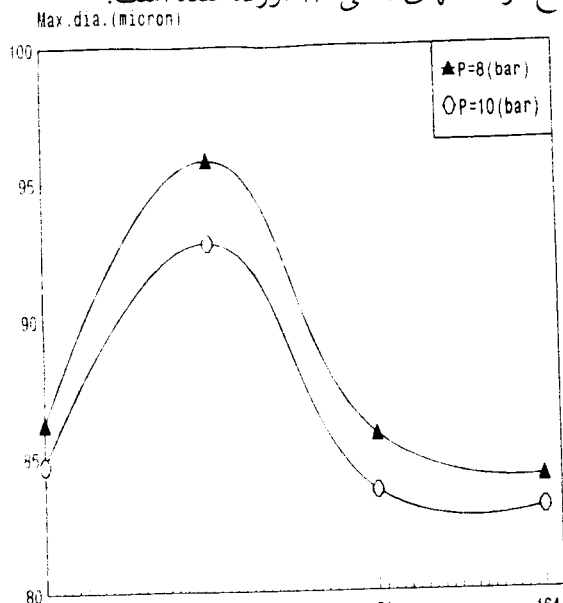
شکل ۷: صفحات تاریک و روشن ناشی از برخورد پرتوهای لیزری.

انژکتور را 72° در یک جهت می‌چرخانیم و مجدداً مراحل ۱ تا ۶ را تکرار می‌کنیم.

۸- این عملیات را آنقدر ادامه می‌دهیم تا انژکتور یک دور کامل چرخیده باشد.

توجه داشته باشید که انژکتور را با زاویه 72° ، پنج مرحله می‌چرخانیم و در هر مرحله در امتداد دو قطر اندازه‌گیری انجام می‌شود تا بتوان برای هر پارامتر اندازه‌گیری شده، میانگینی از چند عدد داشته باشیم. در هر مرحله اندازه‌گیری اطلاعات در فایلی با نام مشخص ثبت می‌شود. سپس از مجموعه اطلاعات ثبت شده، برای هر انژکتور و هر مشخصه پاشش، مقادیر مربوط به نقاط همانند (نقاطی که روی دوازیر هم مرکز قرار دارند) را با یکدیگر جمع کرده و میانگین‌گیری می‌کنیم.

منحنی تغییرات مشخصه‌های پاشش در امتداد یک شعاع در شکل‌های ۹ الی ۲۶ آورده شده است.



شکل ۱۰: منحنی تغییرات ماقزیم قطر در امتداد شعاع بر حسب زاویه θ_2

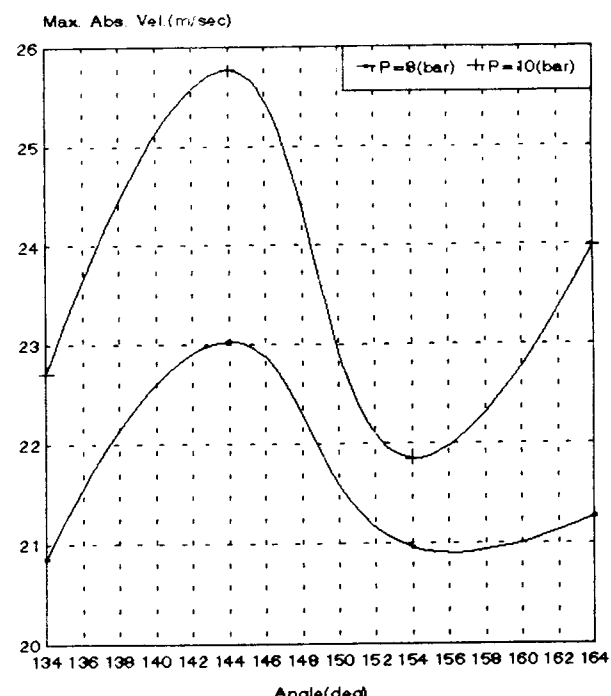
نتایج

منحنی‌های مربوط به سرعت شعاعی، محوری و مطلق در صفحات قبل رسم شده‌اند. به طورکلی این منحنی‌ها برای ۲ گروه انژکتورها در فشار ۸ و ۱۰ بار رسم شده‌اند. محور افقی این نمودارها فاصله از مرکز پاشش

سرعت را نیز اندازه‌گیری کرد انژکتور را توسط سیستم Traverse در دو جهت x و y حرکت می‌دهیم و روی یک قطر سرعت محوری و سرعت مماسی و روی قطر عمود بر آن سرعت محوری و سرعت شعاعی را اندازه‌گیری می‌کنیم.

روش زیر جهت این اندازه‌گیری تدوین شده است:

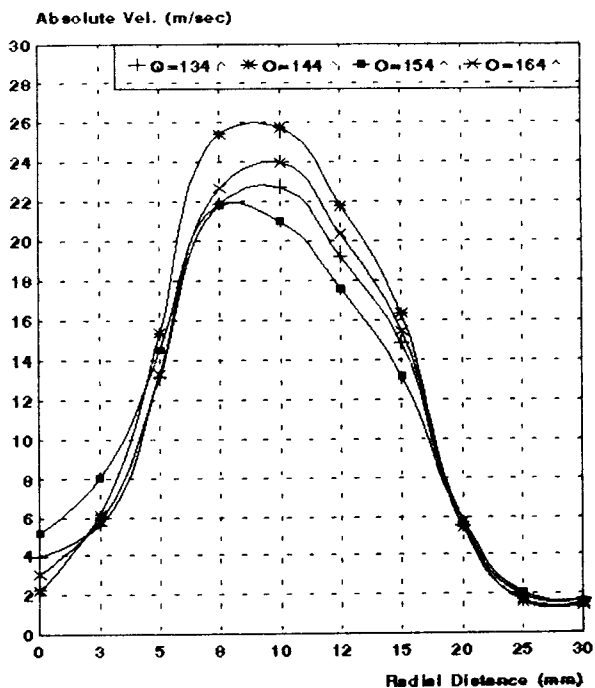
- ۱- ابتدا Traverse را تراز نموده و محور x آن را به موازات پرتوهای لیزر تنظیم می‌کنیم.
- ۲- انژکتور مورد نظر را در جای خود می‌بندیم.
- ۳- تنظیمات لازم از نظر سخت افزاری و نرم افزاری را روی دستگاه PDA اعمال می‌کنیم. [۷] و [۸]
- ۴- توسط یک مخزن آب و کپسول نیتروژن فشار مورد نظر را تنظیم کرده و پاشش را تشکیل می‌دهیم.
- ۵- محل تقاطع پرتوهای لیزر را در فاصله 30 mm از خروجی انژکتور تنظیم می‌کنیم.
- ۶- برای 38 نقطه واقع روی قطرهای عمود برهم (هر قطر 19 نقطه) اندازه‌گیری را برای 1000 نمونه قطره با هر نقطه انجام می‌دهیم.



شکل ۹: منحنی تغییرات ماقزیم سرعت مطلق در امتداد شعاع بر حسب زاویه θ_2

- ۷- پنج تنظیم نگهدارنده انژکتور را اندکی شل کرده و

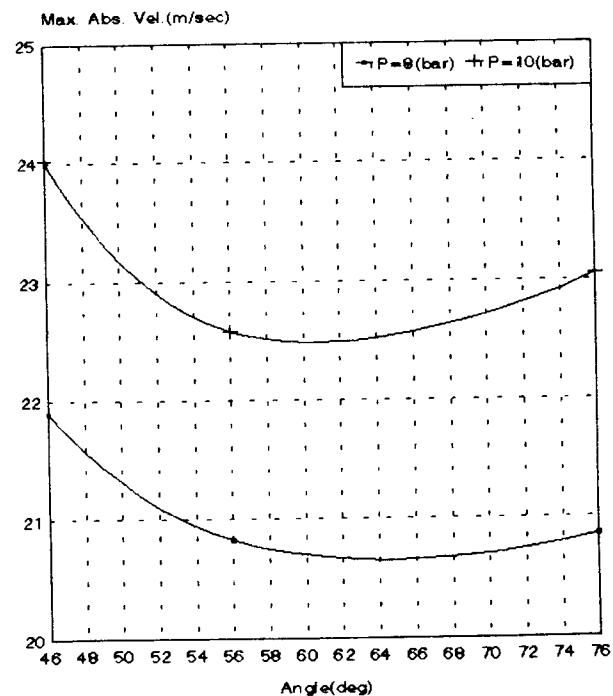
همچنانکه شما در این شکلها مشاهده می فرمایید اولاً مقادیر سرعت شعاعی، مقدار سرعت محوری و سرعت مطلق دارای تغییرات مشابه ای می باشد. ثانیاً در بین انتزکتورهای گروه دوم انتزکتوری که زاویه θ_2 در آن ۱۴۴ درجه می باشد دارای میدان پاشش با سرعت مطلق (محوری) بیشتری می باشد. این موضوع در شکلها ۷ و ۸ که نمایشگر تغییرات قطر می باشند نیز مشخص است و انتزکتور GA144 دارای ذرات با قطر بیشتر می باشد. البته توجه داشته باشید که اکثر تغییرات در نزدیکی یال مخروط پاشش می باشد. در انتزکتورهای پیچشی تمرکز ذرات بر روی یال مخروط پاشش بسیار بالا بوده و عملاً تمرکز ذرات در وسط مخروط خیلی کم است. و قطر در مرکز پاشش در حدود ۲۰ میکرون ولی در نزدیکی یال مخروط قطرات درشت تر شده و به حدود ۹۰ میکرون می رسد.



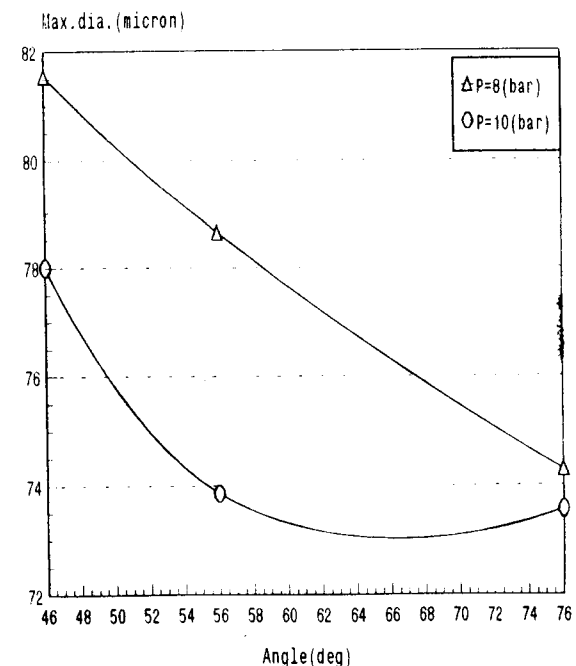
شکل ۱۳: منحنی تغییرات سرعت مطلق در امتداد شعاع برای گروه دوم در فشار ۱۰ بار.

مسلمأً ذرات بزرگتر دارای جرم بیشتری بوده و در اثر چرخش (نیروی گریز از مرکز) به نزدیکی یال میروند. در نزدیک مرکز بعلت وجود منطقه کم فشار هوا و درجه توربولانس بالا مقادیر سرعت نوسان دارد و گاهآ سرعت (مطلق و محوری) منفی یا مثبت می شود.

روی شعاع می باشد و محور عمودی مقدار سرعت یا قطر در آن نقطه می باشد. نکته قابل اهمیت دیگر آن است که سرعت مطلق از جذر مجموع مربعات سرعت شعاعی و محوری و مماسی بدست آمده است.

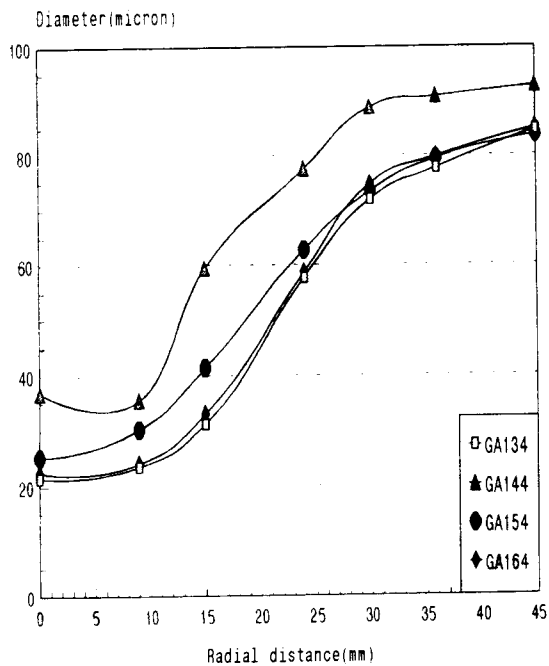


شکل ۱۱: منحنی تغییرات ماکزیمم سرعت مطلق در امتداد شعاع بر حسب زاویه θ_1

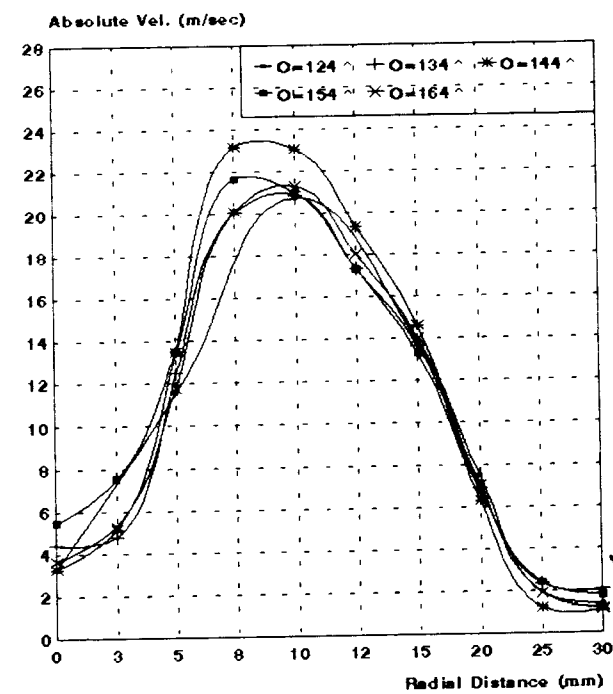


شکل ۱۲: منحنی تغییرات ماکزیمم قطر در امتداد شعاع بر حسب زاویه θ_1 .

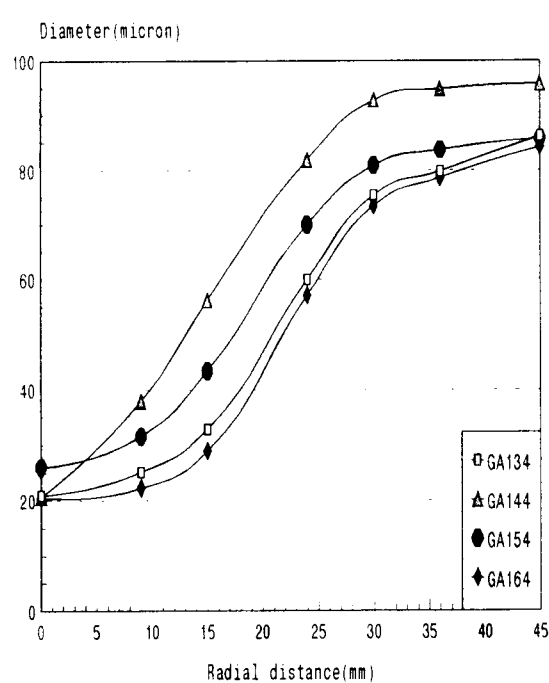
می‌باید. این امر به علت افزایش قدرت گردابه‌ای و گرادیان بیشتر سرعت در مقطع سوراخ می‌باشد.



شکل ۱۵: منحنی تغییرات قطر قطرات در امتداد شعاع برای گروه دوم در فشار ۱۰ بار.



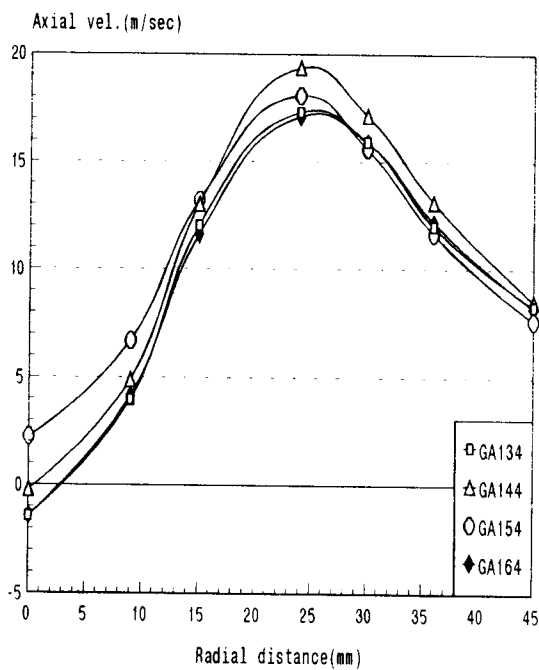
شکل ۱۴: منحنی تغییرات سرعت مطلق در امتداد شعاع برای گروه دوم در فشار ۸ بار.



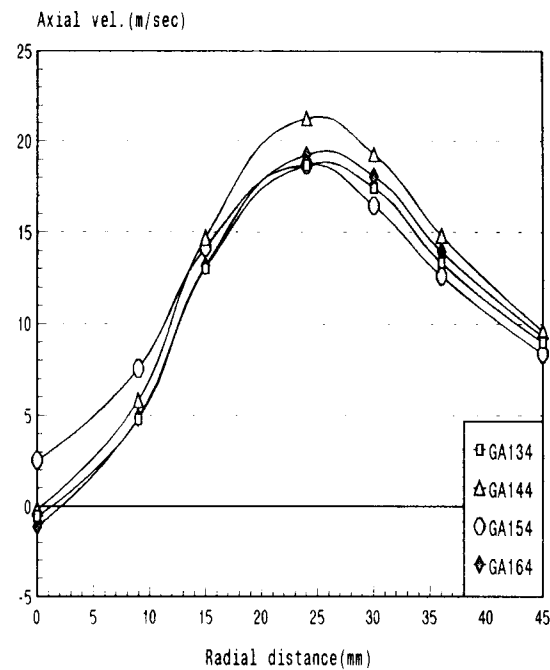
شکل ۱۶: منحنی تغییرات قطر قطرات در امتداد شعاع برای گروه دوم در فشار ۸ بار.

تغییرات ماکریم سرعت مطلق و ماکریم قطر موجود در طول شعاع بر حسب تغییر زاویه برای گروه دوم انتکتورها در شکل‌های ۹ و ۱۰ و گروه اول انتکتورها در شکل‌های ۱۲ و ۱۱ رسم شده‌اند. در واقع در این منحنی‌ها آنچه که مشخص است زاویه‌ای که دارای ذرات با قطر بیشتر می‌باشد، این قطرات دارای سرعت بیشتری هم می‌باشند (بعثت جرم زیاد و نیروی وزن بیشتر و در نتیجه سرعت در جهت محور بیشتر می‌باشد).

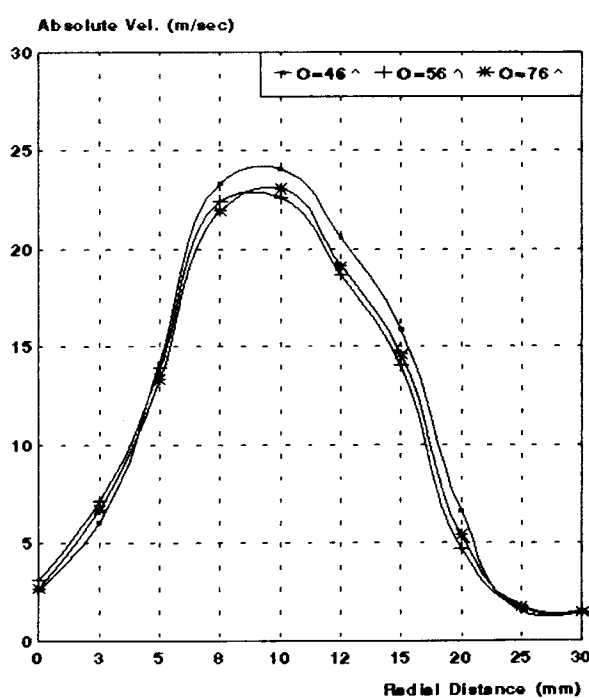
همچنانکه برای گروه دوم بحث و بررسی شد می‌توان در مورد گروه اول انتکتورها نیز بحث و بررسی انجام داد. در شکل‌های ۱۹ و ۲۰ و ۲۳ و ۲۴ مشاهده می‌فرمایید سرعت مطلق (محوری) در نزدیکی یال مخروط پاشش دارای مقادیر بیشتری است و با تغییر زاویه θ_1 مقدار آن در زاویه 46° درجه ماکریم می‌شود. در مورد قطر قطرات نیز در شکل‌های ۲۱ و ۲۲ نیز این موضوع برقرار است و در زاویه 46° دارای قطر قطرات بیشتری هستیم. تغییرات ماکریم سرعت و قطر بر حسب تغییر زاویه θ_1 در شکل‌های ۱۱ و ۱۲ رسم شده‌اند. مشاهده می‌شود که با افزایش زاویه θ_1 مقدار ماکریم سرعت و قطر قطرات نیز کاهش



شکل ۱۸: منحنی تغییرات سرعت محوری در امتداد شعاع برای گروه دوم در فشار ۸ بار.



شکل ۱۷: منحنی تغییرات سرعت محوری در امتداد شعاع برای گروه دوم در فشار ۱۰ بار.

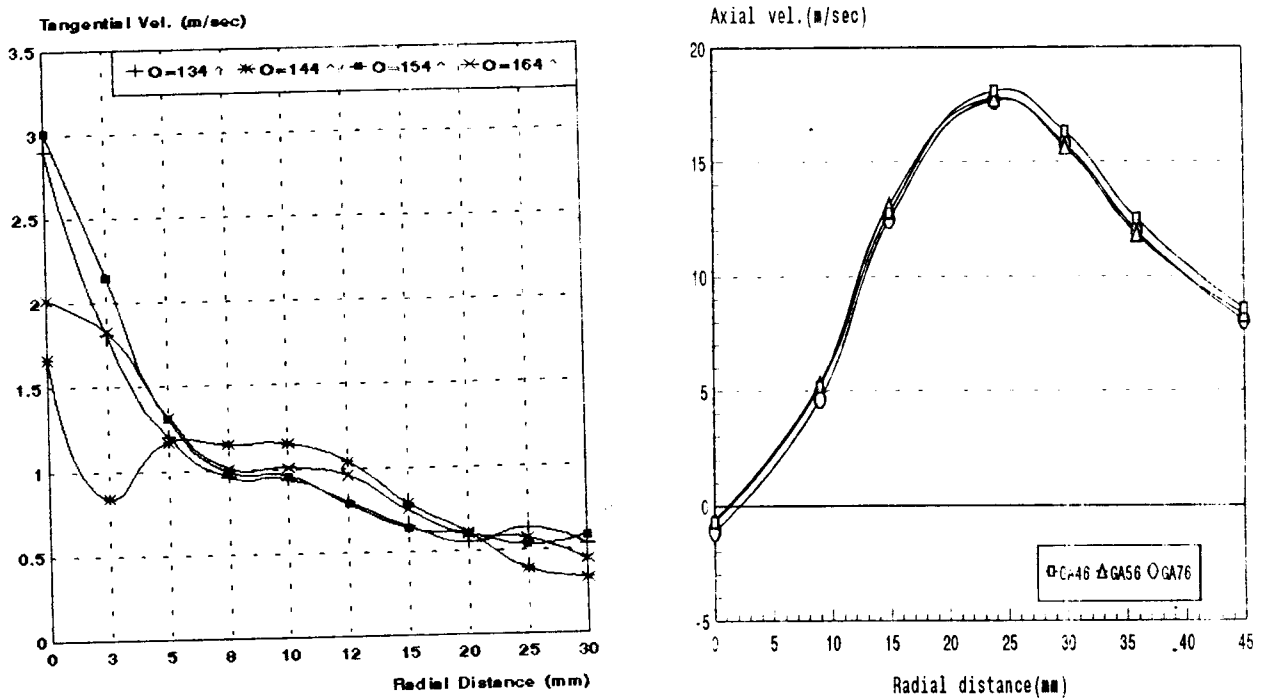


شکل ۱۹: منحنی تغییرات سرعت مطلق در امتداد شعاع برای گروه اول در فشار ۱۰ بار.

نتیجه‌گیری کلی

همچنانکه از نمودارها و نتایج مشخص است برای بدست آوردن یک نتیجه محکم و استوار باید محدوده تغییرات در این محدوده را بیشتر کرده و سپس توانست روند پدیده تغییرات سرعت و قطر قطرات را مشاهده کرد. ولی با توجه به همین نتایج می‌توان گفت که در مقدار سرعت مطلق سهم سرعت محوری بیشتر از دیگر سرعت‌هاست.

تأثیر تغییرات زاویه θ_2 (زاویه بزرگ) نسبت به زاویه θ_1 (زاویه کوچکتر) خیلی بیشتر مشهود می‌باشد. بطور مثال تغییرات مأگزیم سرعت مطلق بر حسب زاویه θ_2 در حدود ۴ متر بر ثانیه ولی در مورد زاویه θ_1 ، $1/5$ متر بر ثانیه است. با توجه به مطالب گفته شده، اگر موضوع انتخاب اثرکنور مناسب برای استفاده در طراحیها باشد، بستگی به نظر طراح دارد زیرا یا باید از نظر سرعت بیشتر و قطر بزرگتر و کار ساخت کمتر و یا از نظر قطر ریزتر و سرعت کمتر و کار ساخت بیشتر، اثرکنورها را مقایسه کرد.

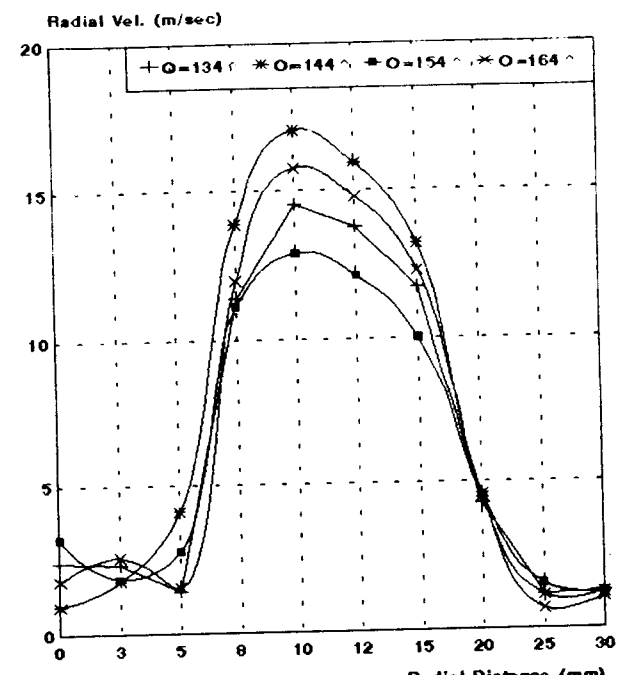


شکل ۲۶: منحنی تغییرات سرعت مماسی در امتداد شعاع برای گروه دوم در فشار ۱۰ بار.

شکل ۲۴: منحنی تغییرات سرعت محوری در امتداد شعاع برای گروه اول در فشار ۸ بار.

فهرست علائم

D	قطر مارپیچ(میلیمتر)
α	زاویه مارپیچ(درجه)
d	قطر سوراخ نازل(میلیمتر)
θ_1	زاویه کوچک همگرایی نازل(درجه)
L	طول مارپیچ (میلیمتر)
θ_2	زاویه بزرگ همگرایی نازل(درجه)
N	تعداد راهگاه مارپیچ
ρ	دانسیته سیال (kg/m^3)
q	دبی سیال (سانتمتر مکعب بر ثانیه)
μ	ویسکوزیته سیال ($\text{N} \cdot \text{Sec}/\text{m}^2$)
r_m	شعاع حفره هوایی(میلیمتر)
σ	کشش سطحی سیال (N.m)
Z	فاصله صفحه اندازه‌گیری از خروجی اثرکتور(میلیمتر)



شکل ۲۵: منحنی تغییرات سرعت شعاعی در امتداد شعاع برای گروه دوم در فشار ۱۰ بار.

مراجع

Liquid Atomization and Spray System, June 20-24.

- 2 - Ashgriz, N. "Performance Characteristics of Centrifugal or Swirl - Type Pressure Nozzles." Buffalo NY 14260
- ۳ - اشجاعی، م. دادرس، ح. "بررسی تجربی تأثیر قطر سوراخ بر میدان پاشش در انژکتورهای پیچشی." چهارمین کنفرانس سالانه مهندسی مکانیک، دومین کنفرانس بین المللی مهندسی مکانیک، شیراز اردیبهشت، (۱۳۷۵)، ۱۳۵ - ۱۴۲ ، مجموعه مقالات.
- ۴ - افشارزاده، ن. "بررسی تجربی تأثیر تعداد راهگاه و طول مارپیچ بر میدان پاشش ، در انژکتورهای پیچشی." دانشگاه تهران (۱۳۷۵ - ۱۳۷۶).
- 5- PDA User's Manual, Dontec Measurement Technology (1992).
- 6 - دادرس، ح. "بررسی تجربی تأثیر پارامترهای هندسی انژکتورهای پیچشی بر میدان پاشش بوسیله دستگاه لیزری PDA." (۱۳۷۴ - ۱۳۷۵)
- 7- SIZE Ware. (1992). "Instalation and User Guide, Dontec Measurement Technology."
- 8- FIBER Flow. (1992). "Instalation and User Guide, Dontec Measurement Technology."